

МИНИСТЕРСТВО НАУКИ И ВЫСШЕГО ОБРАЗОВАНИЯ
РОССИЙСКОЙ ФЕДЕРАЦИИ

Федеральное государственное автономное
образовательное учреждение высшего образования
«Национальный исследовательский университет ИТМО»

Лабораторная работа №2

по дисциплине
«Имитационное моделирование робототехнических систем»
Вариант 42

Студент:

Группа Р4135с

Петрищев А.С.

Преподаватель:

Ракшин Е.А.

Санкт-Петербург 2025

СОДЕРЖАНИЕ

1	Введение	3
2	Ход работы	4
2.1	Кинетическая и потенциальная энергия	4
2.2	Уравнение Эйлера-Лагранжа	4
2.3	Моделирование	5
3	Выводы	8

1 Введение

В данной лабораторной работе будет рассмотрен маятник с пружиной и демпфером. С помощью уравнения Эйлера-Лагранжа будет получено дифференциальное уравнение, описывающее изменение обобщенный координаты во времени. В данной случае обобщенной координатой будет угол отклонения маятника от вертикальной оси.

2 Ход работы

2.1 Кинетическая и потенциальная энергия

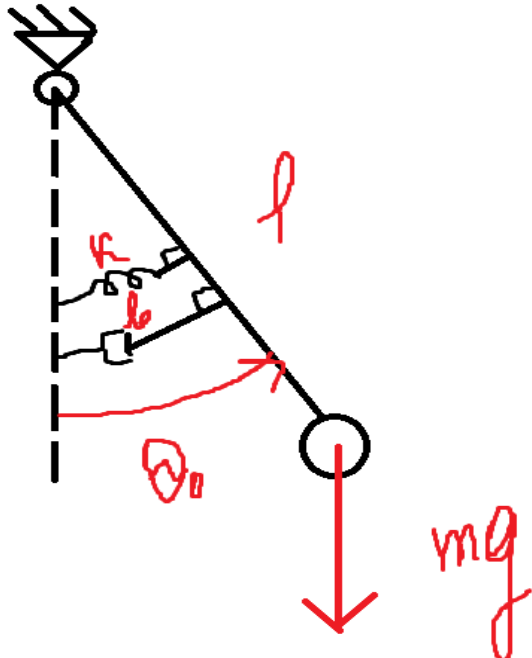


Рисунок 1 — Схема механизма

Пусть обобщенной координатой будет θ - угол отклонения маятника от вертикальной оси.

Найдем кинетическую и потенциальную энергию маятника:

$$K = \frac{1}{2} I \dot{\theta}^2 = \frac{1}{2} m l^2 \dot{\theta}^2 \quad (2.1)$$

$$P = -mgl \cos \theta + \frac{1}{2} k(l \tan \theta - l \tan \theta_0)^2 = -mgl \cos \theta + \frac{1}{2} kl^2(\tan \theta - \tan \theta_0)^2 \quad (2.2)$$

2.2 Уравнение Эйлера-Лагранжа

$$\frac{d}{dt} \left(\frac{\partial \mathcal{L}}{\partial \dot{x}} \right) - \frac{\partial \mathcal{L}}{\partial x} = Q \quad (2.3)$$

, где \mathcal{L} – Лагранжиан системы, а Q – внешние силы, действующие на систему

$$Q = -bl\dot{\theta} \quad (2.4)$$

$$\mathcal{L} = K - P = \frac{1}{2}ml^2\dot{\theta}^2 + mgl\cos\theta - \frac{1}{2}kl^2(\tan^2\theta - 2\tan\theta_0\tan\theta + \tan^2\theta_0) \quad (2.5)$$

$$\frac{\partial \mathcal{L}}{\partial \theta} = -mgl\sin\theta - \frac{1}{2}kl^2\left(\frac{2\sin\theta}{\cos^3\theta} - \frac{2\tan\theta_0}{\cos^2\theta}\right) = -mgl\sin\theta - kl^2\left(\frac{\tan\theta - \tan\theta_0}{\cos^2\theta}\right) \quad (2.6)$$

$$\frac{\partial \mathcal{L}}{\partial \dot{\theta}} = ml^2\dot{\theta} \quad (2.7)$$

$$\frac{d}{dt}\left(\frac{\partial \mathcal{L}}{\partial \dot{\theta}}\right) = ml^2\ddot{\theta} \quad (2.8)$$

Подставим полученное в уравнение Эйлера-Лагранжа:

$$ml^2\ddot{\theta} + mgl\sin\theta + kl^2\left(\frac{\tan\theta - \tan\theta_0}{\cos^2\theta}\right) = -bl\dot{\theta} \quad (2.9)$$

Перенесем и поделим на ml^2 :

$$\ddot{\theta} = -\frac{b}{ml}\dot{\theta} - \frac{g}{l}\sin\theta - \frac{k}{m}\left(\frac{\tan\theta - \tan\theta_0}{\cos^2\theta}\right) \quad (2.10)$$

2.3 Моделирование

$$m = 0.3, k = 4.2, b = 0.03, l = 0.92, \theta_0 = -0.7226$$

Промоделируем систему с помощью среды Matlab/Simulink:

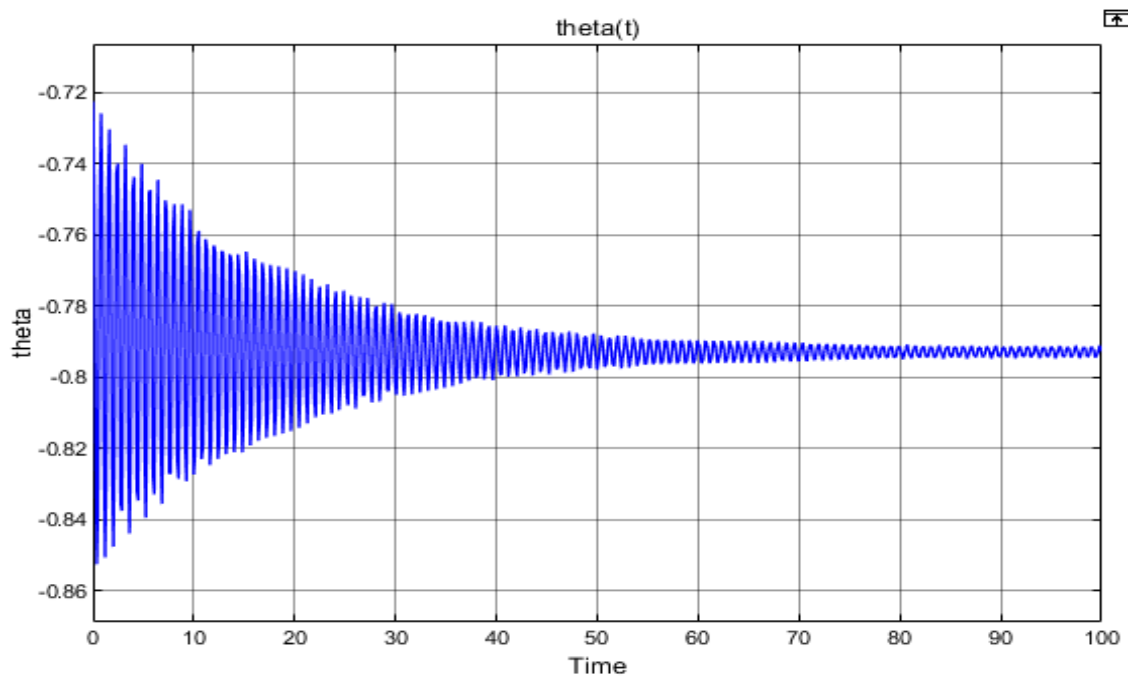


Рисунок 2 — График обобщенной координаты

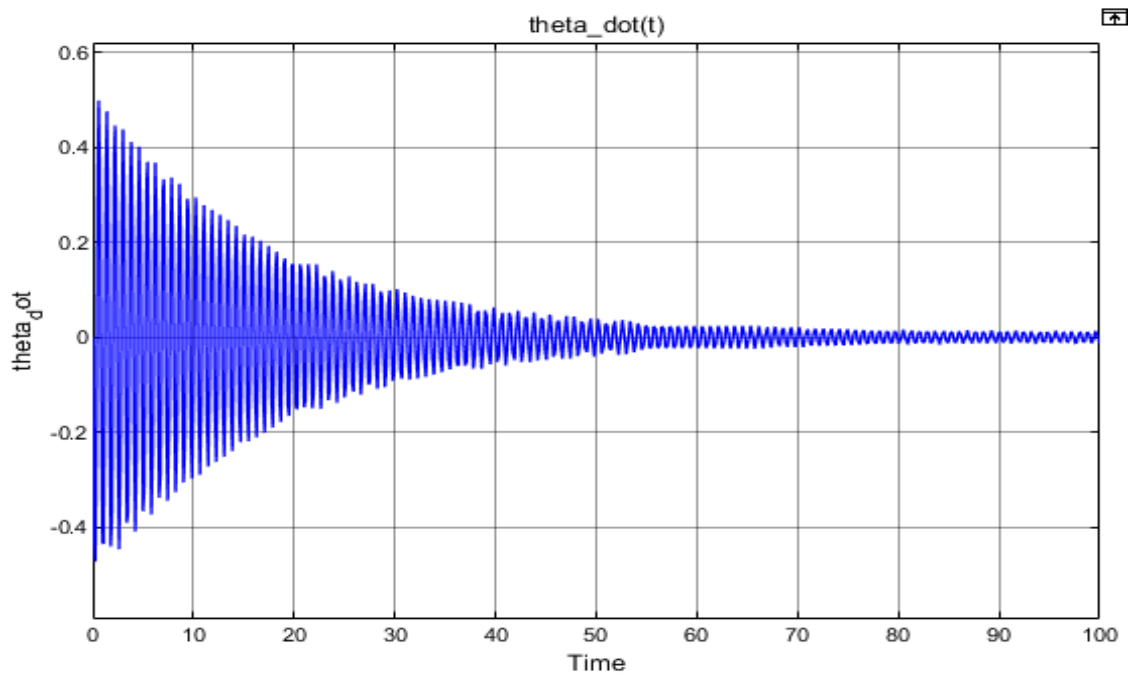


Рисунок 3 — График скорости изменения обобщенной координаты

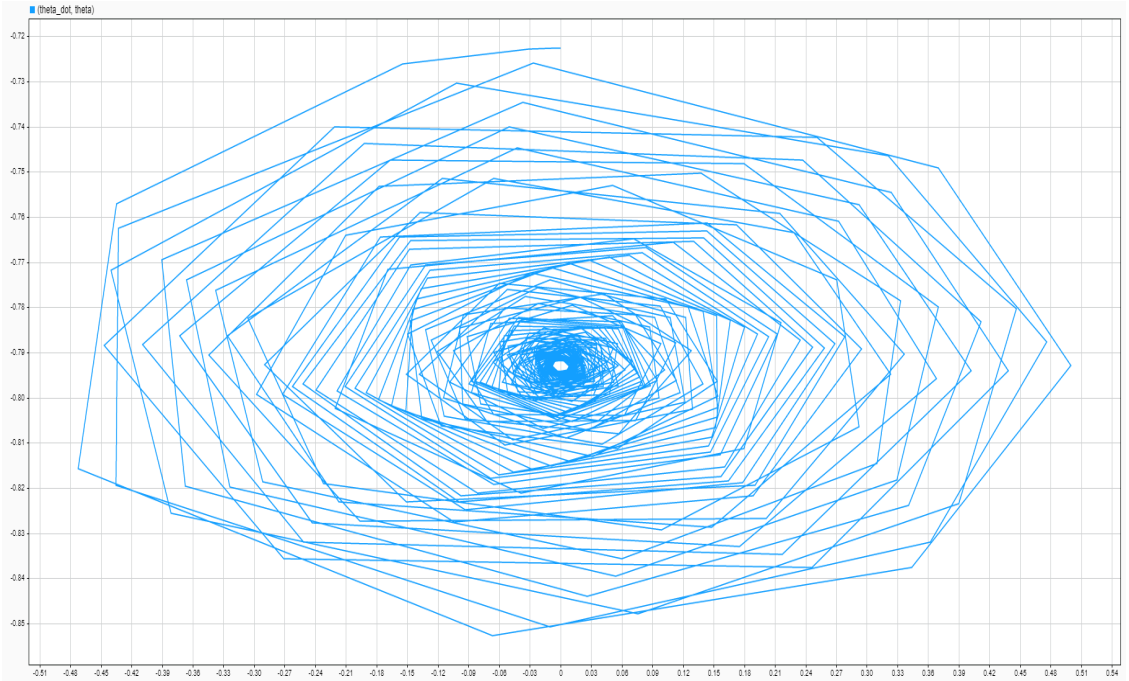


Рисунок 4 — Фазовый портрет

На графике $\theta(t)$ видно затухающие колебания около начального угла θ_0 . График угловой скорости $\dot{\theta}(t)$ стремится к нулевому значению.

Результаты численного решения полученного ДУ методами Рунге-Кутты, явного и неявного Эйлера представлены на Рис. 5. Моделирование методами из прошлой лабораторной работы на Python проведено неуспешно по нескольким причинам: уход на бесконечность при приближении $\cos \theta$ к 0, отсутствие контроля ошибки, а также собственные недостатки методов. Все это приводит к искажению фазового портрета системы.

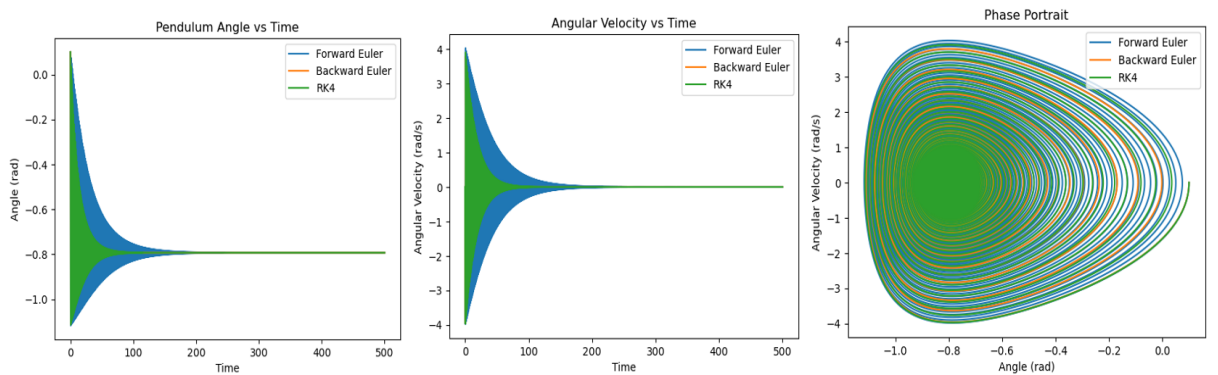


Рисунок 5 — Результаты моделирования методами Рунге-Кутты, явного и неявного Эйлера на Python

3 Выводы

Аналитическое решение данного дифференциального уравнения невозможно ввиду наличия сингулярностей (при $\cos \theta = 0$) и нелинейных членов, содержащих обобщенную координату. В связи с этим, для анализа динамики системы был применен численный подход. Исследование включало рассмотрение энергии механизма и составление уравнения Эйлера-Лагранжа. Конечное моделирование и построение графиков были успешно выполнены в среде **Matlab/Simulink**, которая использует устойчивые алгоритмы численного интегрирования.